



شناسایی نشانگر RAPD پیوسته با صفات مورفولوژیک و تعیین ساختار (*Linum usitatissimum* L.)

معصومه گلشن^۱، فاطمه رحمانی^۲ و حسین عباسی هولاوسو^۳

۱- دانشجوی کارشناسی ارشد، دانشکده علوم، دانشگاه ارومیه

۲- استادیار، دانشکده علوم، دانشگاه ارومیه

۳- دانشجوی دکتری، دانشکده کشاورزی، دانشگاه تبریز، توانسته مسؤول: hossein.pdf55@gmail.com

تاریخ دریافت: ۹۴/۵/۲۰ تاریخ پذیرش: ۹۴/۱۱/۱۷

چکیده

بزرگترین جنس از خانواده *Linaceae* می‌باشد که نزدیک به ۲۳۰ گونه دارد. این گیاه از لحاظ تولید فیبر به عنوان سومین گیاه زراعی در جهان تلقی می‌شود. به منظور شناسایی نشانگرهای مرتبط با صفات ارتفاع بوته، وزن کپسول در بوته، وزن ساقه فرعی، تعداد کپسول ساقه‌های فرعی، تعداد کپسول ساقه اصلی، طول ساقه فرعی، وزن هزار دانه، شمار کپسول در بوته، عملکرد بیولوژیکی و شاخص برداشت در ارقام مختلف کتان زراعی، از نشانگرهای RAPD استفاده شد. ۱۳ آغازگر مورد استفاده، ۱۶۹ مکان در ۱۰ رقم کتان زراعی تولید کردند. میانگین تعداد مکان‌ها ۱۳ مکان برای هر آغازگر بدست آمد. میانگین میزان اطلاعات چند شکل (PIC) برای آغازگرها ۰/۱۶ و از ۰/۰۵ (OPA-03) تا ۰/۲۹ (OPD-03) متغیر نشان داد. تجزیه خوش‌های بر اساس نشانگر RAPD به روش Neighbour-Joining و ضریب Number of difference (NOD) متناسب کرد، که با توزیع و گروه‌بندی جغرافیایی ارقام مورد مطالعه تطبیق داشت. در ضمن نتایج حاصل از تجزیه خوش‌های در تجزیه به مولفه‌های اصلی نیز تأیید شد. میزان K=۲ برای گروه‌بندی دندروگرام در بررسی ساختار جمعیت با استفاده از مدل بیزی بدست آمد. برای شناسایی نشانگرهای منشأ مرتب با صفات مورفولوژیک، تجزیه رگرسیون گام‌به‌گام بین داده‌های مولکولی به عنوان متغیرهای مستقل و صفات مورفولوژیک به عنوان متغیرهای وابسته انجام گرفت. آغازگرها OPD-05 و OPD-03 با هر دو صفت وزن هزار دانه و تعداد ساقه‌های فرعی مرتبط بودند. با توجه به اینکه همه مکان‌های مورد مطالعه بجز OPB-04 صفات مورد مطالعه موثر بودند، بنابراین احتمال دارد بتوان از این مکان‌ها همراه با اطلاعات مربوط به صفات مورفولوژیک در اصلاح کتان جهت شناسایی والدین مناسب برای تهیه جمعیت‌های در حال تفرق و تولید ارقام همیرید استفاده کرد.

واژه‌های کلیدی: تجزیه ارتباط، تجزیه به مولفه‌های اصلی، صفات مورفولوژیک، نشانگر RAPD

L. bienne حاوی دانه‌های کوچک را به عنوان جد کتان در نظر می‌گیرد. این گونه از کردستان ایران منشأ گرفته است. بعضی دیگر از محققین گونه *L. angustifolium* را به عنوان جد کتان در نظر روند بالا و وزن دانه بیشتر را به عنوان جد کتان در نظر گرفته‌اند که از نواحی مدیترانه منشأ گرفته است (۲۰). اخیراً مطالعه با نشانگرهای مولکولی نشان داد که این سه گونه از *L. angustifolium* یک جد مشترک منشأ گرفته‌اند و *L. angustifolium* قدمی‌ترین جد کتان می‌باشد (۱۹). موقوفیت کتان به عنوان یک گیاه دانه روغنی و فیبری عمدتاً در ارتباط با درصد روند، فیبر و عملکرد دانه آن می‌باشد. با این حال تنوع ژنتیکی در ارقام زراعی کم است. بیشترین تنوع ژنتیکی یک گونه گیاهی را می‌توان در تزادهای بومی و همچنین در گونه‌های وحشی و خویشاوند آن مشاهده کرد (۶). برآورد تنوع ژنتیکی در گیاهان، نقش بسیار مهمی در پیشبرد برنامه‌های اصلاحی و ژنتیکی از جمله گروه‌بندی لاین‌ها و جمیت‌ها، مطالعه تکامل خویشاوندان وحشی، بهبود شجره‌ها، بررسی تغییرات فراوانی لاله‌ها و حفاظت از منابع ژنتیکی دارد. تنوع ژنتیکی را می‌توان با روش‌های مختلف و با مطالعه ویژگی‌های متفاوت بررسی کرد که از جمله آن‌ها می‌توان به بررسی صفات مورفولوژیک، آناتومیک، نشانگرهای بیوشیمیایی و نشانگرهای مولکولی اشاره کرد (۳۲). همچنین با استفاده از نشانگرهای DNA امکان شناسایی و جداسازی زن‌های دخیل در مراحل مختلف چرخه‌های متابولیت ثانویه در گیاهان دارویی وجود دارد (۱۵). از این رو، تعیین ارتباط بین نشانگرهای مولکولی و

مقدمه
بشر از گذشته‌های دور گیاهان دارویی را به عنوان موهبت‌های طبیعی دانسته و به عنوان ابزاری مؤثر در پژوهشی استفاده کرده است. با گذشت زمان و مشخص شدن عوارض و اثرات سوء داروهای شیمیایی، توجه زیادی به سوی طبیعت و استفاده از گیاهان دارویی جلب شده است (۲۲). گیاهان دارویی و معطر در مقایسه با سایر گیاهان زراعی، اراضی کمی را به خود اختصاص می‌دهند. با این وجود، این دسته از گیاهان تعداد زیادی از گونه‌های گیاهی را شامل می‌شوند که دارای بیشترین تنوع در صفات و خصوصیات بیولوژیکی می‌باشند. البته با وجود تنوع کافی، اصلاح گیاهان دارویی نسبت به گیاهان زراعی با روند کنترلی صورت می‌گیرد. اما بهنگادگران سعی نمودند تا با بهره‌برداری از تنوع ژنتیکی موجود در گیاهان دارویی، میانگین تولید و پایداری اکولوژیکی را در این گیاهان بهبود بخشند (۲۳). جنس کتان دارای حدود ۲۲ گونه است که ۲۲ گونه آن در ایران یافت می‌شوند (۲۶، ۳۳) و دانه‌های بسیاری از آنها از جمله *L. usitatissimum* منبع غنی از اسیدهای چرب امگا ۳ و امگا ۶ هستند (۱۳). در اکثر فارماکویه‌های معتبر از کتان به عنوان یک گیاه دارویی یاد شده است و خواص درمانی آن مورد بررسی قرار گرفته است. تعداد کروموزوم‌ها در گونه‌های *Linum usitatissimum* محدود و سیعی را از ۱۶ تا ۲n=۷۲ شان دارد. دارای ۲n=۳۰ می‌باشند (۱۹). بعضی از محققین گونه وحشی

شاهد و ۷۷ نشانگر آگاهی بخش در سطح ۰/۲۵ میلی مولار کادمیم شناسایی شد (۳۰). سوتونسرا و همکاران (۳۷) با استفاده از تجزیه ارتباط و نشانگرهای ریزمماهواره QTL، ۹ QTL در ۳ سال در ۶ محیط انجام گرفت، ۹ QTL در (Quantitative trait loci) (QTL) را برای صفت محتوای روغن در ۳۹۰ نمونه کتان شناسایی کردند، که ۵۸ درصد از الهای QTL در ارقام کانادایی اختصاصی بودند. در تبیین نمونه‌های QTL کانادایی دارای الی‌های QTL با پتانسیل مفید در بهبود صفات کیفی نقش دارند. در مطالعه‌ای دیگر تجزیه ارتباط ۹ صفت زراعی با ۱۱۲ نشانگر SSR روی ۱۲۵ ژنتیپ کتان کانادایی مشخص شد که برخی از نشانگرها با بیش از یک صفت در ارتباط هستند (۳۶). با توجه به اینکه هنوز استفاده از تجزیه ارتباط در کتان برای شناسایی نشانگرهای مثبت مرتبط با صفات مورفوژوئیک در ایران گزارش شده است، هدف از این آزمایش شناسایی نشانگرهای مثبت و آگاهی بخش مرتبط و پیوسته با صفات مورفوژوئیک و همچنین بررسی ساختار ژنتیکی جمعیت در ارقام زراعی کتان مورد مطالعه با استفاده از نشانگر RAPD، رگرسیون گام به گام و Structure بود.

مواد و روش‌ها

مواد گیاهی مورد مطالعه در این تحقیق شامل ۱۰ واریته کتان زراعی (جدول ۱)، در سال زراعی ۱۳۸۸-۸۹ در ایستگاه تحقیقاتی کشاورزی ساعتلن، واقع در ۳۰ کیلومتری شمال ارومیه کشت شدند. نمونه‌های گیاهی در قالب طرح بلوک‌های کامل تصادفی در ۴ تکرار روی خطوطی به طول دو متر کشت شده و صفات ارتفاع بوته (cm)، وزن کپسول در بوته (g)، وزن ساقه فرعی (g)، تعداد کپسول ساقه‌های فرعی، تعداد کپسول ساقه اصلی، طول ساقه اصلی (cm)، طول ساقه فرعی (cm)، تعداد ساقه فرعی، وزن هزار دانه (g)، تعداد کپسول در بوته، عملکرد دانه (kg/ha)، عملکرد بیولوژیکی (kg/ha) و شاخص برداشت بر اساس ۵ نمونه در هر کرت اندازه‌گیری و ثبت شدند. نخست مقادیر صفات اندازه‌گیری شده در قالب طرح بلوک‌های کامل تصادفی مورد تجزیه واریانس قرار گرفتند. میزان وراحت‌پذیری عمومی صفات بر مبنای اجزای مشکله واریانس با استفاده از رابطه زیر صورت گرفت. $R^2 = h^2_{\text{G}} + h^2_{\text{P}}$ که در این فرمول G و P به ترتیب واریانس ژنتیکی و فنتوتیپی می‌باشد.

صفات مورفوژوئیک، می‌تواند گامی موثر در استفاده از گرینش جمعیتی باشد. پیوستگی ژنتیکی بین نشانگرها و مکان‌های ژنی صفات کمی، محتمل ترین توجیه برای وجود رابطه بین نشانگرهای مولکولی و نمود صفات زراعی است (۳۹). مطالعه نشانگرهای متعددی از قبیل، امکان بررسی پتانسیل ژنتیکی کاربردهای متنوعی خاص، شناسایی الی‌های صفت مطلوب در مجموعه‌های ژرم‌پلاسمی، تسهیل مکان‌یابی دقیق الی‌های صفات کمی و تایید ژن‌های کاندیدای مرتبط با صفات کمی می‌باشد (۹). در دسترس بودن تعداد بسیار زیادی از نشانگرها و صفات مورفوژوئیکی می‌تواند به مطالعه تجزیه رگرسیونی بین این نشانگرها و صفات مورفوژوئیکی کمک نماید. در مطالعات مبتنی بر تجزیه پیوستگی تعداد کمی از ژنتوتیپ‌ها به عنوان والدین جمعیت در حال تفرق برای شناسایی چند شکلی‌های مرتبط با صفات موردنظر مطالعه غربال می‌شوند که این خود سبب ایجاد محدودیت می‌شود، زیرا ممکن است نشانگرهای شناسایی شده در این والدین برای گزینش به کمک نشانگر در زمینه‌های ژنتیکی والدین و ارقام دیگر مفید نباشد. برای غلبه بر این محدودیت‌ها در سال‌های اخیر روش مکان‌یابی ارتباطی (Association mapping) یا تجزیه ارتباطی (Association analysis) معرفی شده است که نه تنها امکان مکان‌یابی دقیق و مطمئن ژن‌ها و مکان‌های کنترل کننده صفات کمی را فراهم می‌کند، بلکه امکان شناسایی نواحی کروموزومی دیگری که در مطالعات پیوستگی امکان‌پذیر نیستند را میسر می‌سازد (۲۹). کارایی این روش در انسان برای شناسایی و مکان‌یابی ژن‌های کنترل کننده صفات مندلی نشان داده شده است (۱۴، ۷، ۳). در علوم گیاهی نیز این روش رو به گسترش است. رشیدی منفرد و همکاران (۲۵) با استفاده از نشانگرهای SSAP برای شناسایی نشانگرهای مرتبط با صفات مهم زراعی در گندم نشان دادند که، نشانگرهای SSAP و رگرسیون گام به گام برای شناسایی نشانگرهای آگاهی بخش برای صفات زراعی مفید می‌باشند. عبدالهی مندولکانی و همکاران (۱) در تجزیه ارتباط به روش MLM، ۹۵ مکان مرتبط با صفات موردنظر مطالعه شناسایی کردند، ۵۴ درصد مکان‌ها مبتنی بر نشانگرهای رتروترن‌سپوزونی و ۴۶ درصد مکان‌های شناسایی شده مبتنی بر نشانگرهای ISSR و SSR بود. در مطالعه تجزیه ارتباطی تجمع کادمیم در گندم با استفاده از نشانگرهای AFLP و RAPD، در مجموع ۱۱۳ نشانگر آگاهی بخش در سطح

جدول ۱- محل جمع آوری ارقام مورد استفاده در این مطالعه

Table 1. The origins of the cultivars used in the current study

کد ارقام مورد مطالعه	منطقه مربوطه	رقم
Kerman	کرمان	۹۷-۲
Khodabandeh-KA	خابنده-کشک آباد	۹۷-۵
Shahindezh-BNG	شاهیندز-باروچ نادر گلی	۹۷-۱۰
Shahindezh-K	شاهیندز-کشاورز	۹۷-۱۱
Shahindezh-BGB	شاهیندز-باروچ قمرزی بلاق	۹۷-۱۳
Bonab-R	بناب-روشت	۹۷-۱۶
Kerman-SN	کرمان-شهر نایک	۹۷-۱۷
Markazi-SH	مرکزی-شازند	۹۷-۲۴
Markazi-H	مرکزی-هندویه	۹۷-۲۵
Sistan	سیستان و بلوچستان	۹۷-۴۶

میانگین عملکرد دانه کتان را ۷۷۷ کیلوگرم بر هکtar و بالاترین میزان آن را ۱۸۳۱ کیلوگرم بر هکtar ذکر کرده‌اند، همچنین این محققان اظهار داشته‌اند که با افزایش کوددهی (فسفر و روی) عملکرد این گیاه را می‌توان تا ۲۶۴۵ کیلوگرم در هکtar افزایش داد. این اختلاف در میانگین عملکرد دانه را به اختلاف در شرایط اقلیمی و مهم‌تر از آن به تفاوت‌های ژنتیکی بین ارقام می‌توان ربط داد. نتایج حاصل از تجزیه واریانس نشان داد که تاثیر ژنتیک بر عملکرد دانه، ارتفاع گیاه، طول ساقه‌های اصلی و فرعی، وزن دانه در بوته، وزن کپسول در ساقه از لحاظ آماری در سطح احتمال ۵ درصد و وزن هزار دانه، شمار کپسول در گیاه، تعداد کپسول ساقه‌های فرعی، وزن کل بوته، عملکرد بیولوژیکی و شاخص برداشت در سطح احتمال یک درصد معنی‌دار بود. بنابراین بین ارقام زراعی از نظر این صفات تنوع زیادی وجود دارد. دامنه تغییرات گسترده صفات مورد مطالعه نیز این مطلب را تأیید می‌کند. بالا بودن وراثت‌پذیری عمومی برای صفات وزن هزار دانه (۶۳) درصد، شاخص برداشت (۵۶ درصد) و عملکرد بیولوژیکی (۴۷ درصد) بیانگر اهمیت ژن‌های افزایشی به عنوان مهم‌ترین جز کنترل کننده این صفات است و می‌توان پاسخ به گزینش مطلوبی را برای این صفات پیش‌بینی نمود. بنابراین اصلاح صفات مذکور از طریق روش‌های گزینش امکان‌پذیر است. وراثت‌پذیری متوسط عملکرد دانه (۲۹) درصد) نیز نشان دهنده این نکته است که هر دو نوع ژن‌های غیر افزایشی و افزایشی در کنترل این صفت سهم دارند. از ۱۵ آغازگر RAPD مورد استفاده، ۱۳ آغازگر الگوی باندی OPA-05 و OPA-011 و OPD-011 و آغازگر چند شکل و دو آغازگر OPD-05 و OPD-08 با OPD-03 و OPB-03 با OPD-08 و OPD-03 با OPB-03 با OPD-03 و OPA-06 و OPA-07 (۷۳ درصد)، و کمترین درصد مربوط به آغازگر OPA-03 (۱۶ درصد) بود. میزان اطلاعات چند شکل از ۰/۰۵ تا ۰/۲۹ به ترتیب برای آغازگرهای OPA-03 و OPA-03 متنبی بود. میانگین میزان اطلاعات چندشکل برای آغازگرهای مورد مطالعه (۰/۱۶ بود (جدول ۳). آغازگرهای OPA-06 و OPA-07 (به ترتیب ۰/۲۹ و ۰/۲۸) با بیشترین محتوای اطلاعات چندشکلی آغازگرها، بیشترین شاخص چند شکلی را نشان می‌دهند. به این معنی که این دو آغازگر بهتر از همه آغازگرهای استفاده شده، توانسته است فاصله ژنتیکی ارقام را مشخص کند. همچنین آغازگرهایی که دارای میزان اطلاعات چند شکلی بالایی بودند، تنوع ژنی بالایی نیز داشتند که این موضوع نشان دهنده همبستگی بین PIC و تنوع ژنی است. میانگین شاخص نشانگر برای هر آغازگر در این آزمایش ۱/۴۲ محاسبه شد، به طوری که بیشترین مقدار مربوط به آغازگر OPA-03 (۳/۴۸) و کمترین آن مربوط به آغازگر OPA-03 (۰/۰۱) بود (جدول ۳).

استخراج DNA ژنومی و تکثیر آن

برای بررسی تنوع ژنتیکی، برگ‌های تازه در شهریور ماه ۸۸ جمع‌آوری و با استفاده از سیلیکاژل به همراه بخ به آزمایشگاه انتقال داده شد. استخراج DNA با روش CTAB (۲) انجام و کیفیت و کمیت DNA با استفاده از الکتروفورز و اسپکتروفوتومتری تعیین شد. تکثیر قطعات DNA در یک واکنش ۲۵ میکرولیتری حاوی بافر PCR با غلظت ۱۰x، ۰/۶ میلی‌مول dNTP ۱/۹ MgCl₂ میلی‌مول، ۱ میکرومول، ۱ واحد آنزیم تک پلی نوکلئوتیدی با غلظت ۰/۵ میکرومول، ۱ درجه سانتی‌گراد و برای مراز و ۲۵ نانوگرم DNA ژنومی به علاوه آب دوار تقطیر در دستگاه ترموسایکل اپندورف صورت گرفت. سپس PCR با برنامه حرارتی ۳۰ ثانیه در دمای ۹۴ درجه سانتی‌گراد، ۱ دقیقه در ۹۲ درجه سانتی‌گراد، ۱ دقیقه در ۳۵ یا ۴۵ سیکل: ۱ دقیقه در ۹۲ درجه سانتی‌گراد، ۲ دقیقه در دمای ۳۶ درجه سانتی‌گراد (با توجه به آغازگر) و ۲ دقیقه در دمای ۷۲ درجه و سرانجام بسط نهایی در دمای ۷۲ درجه به مدت ۵ دقیقه انجام گرفت. ۱۲ میکرولیتر از محصولات PCR با یک میکرولیتر بافر بارگذاری ۶۰ مخلوط شد و در ژل آگارز دو درصد در ولتاژ ثابت ۷۵ ولت به مدت ۱/۵ ساعت الکتروفورز شدند. عکس‌برداری از ژل در دستگاه ژل داک مدل ۲۰۰۰ زیر نور UV انجام شد.

تجزیه آماری داده‌ها

الگوهای نواری بصورت یک و صفر بر اساس وجود و عدم وجود باند در هر مکان امتیازدهی شدند. شاخص که PIC که یکی از معیارها نشان دهنده قدرت تفکیک آغازگرها می‌باشد، با استفاده از فرمول $PIC = \frac{1}{p_1 p_2}$ محاسبه شد. در این فرمول p_i فراوانی ال ام در یک مکان مشخص می‌باشد. شاخص نشانگر نیز از دیگر معیارهای برآورد قدرت تفکیک آغازگرهاست که با استفاده از فرمول $MI = PIC^*B$ محاسبه گردید، که در این فرمول B تعداد مکان‌های چند شکل Number of difference و باروش Neighbour-Joining محاسبه شد. تجزیه به مختصات نرم‌افزار MEGA3 (۱۶) محاسبه شد. تجزیه به اینستاکی از نرم‌افزار SPSS (۱۵) نیز از NTSYS 2.1 (۷۷) انجام گردید. جهت استفاده از نرم افزار Neighbour-Joining در ارقام کتان زراعی و نیز تایید گروه‌بندی Neighbour-Joining از نرم‌افزار MCMC با ۱۰۰۰ بار Burn-in و ۵۰۰۰ بار تکرار K در مقادیر مختلف استفاده شد. عدد K بهینه بر اساس روش delta K محاسبه و تعیین شد. برای شناسایی آغازگرهای مثبت مرتبط با صفات مورفولوژیک مورد مطالعه، تجزیه رگرسیون گام‌به‌گام با در نظر گرفتن مکان‌های نشانگری به عنوان متغیرهای مستقل و صفات مورفولوژیک به عنوان متغیرهای وابسته با استفاده از نرم‌افزار SPSS نسخه ۱۵ (۷۷) انجام گرفت.

نتایج و بحث

جدول ۲ میانگین، انحراف معیار، کمترین و بیشترین مقدار صفات را نشان می‌دهد. در مطالعه ما میانگین عملکرد دانه ۵۰۱/۱۲ کیلوگرم بر هکtar بود. گرانت و همکاران (۱۱)

جدول ۲- شاخص‌های آماری صفات مورد بررسی ارقام کتان زراعی (*Linum usitatissimum L.*)

Table 2. Statistical parameters in flax cultivars for studied traits								متغیر								
میانگین	انحراف معیار	مجموع	میانیم	ماکریم	وراثت پذیری عمومی (درصد)	ارتفاع بوته (cm)	وزن کپسول بوته (g)	وزن کپسول ساقه (g)	تعداد کپسول ساقه	طول ساقه اصلی (cm)	فرعی	فرعی	وزن ساقه فرعی (g)	تعداد کپسول ساقه اصلی	طول ساقه اصلی (cm)	
۴۱/۵۵	۱۳	۷۰/۵۴	۰/۱۴	۳/۵۳	۴۷/۵۹	۴۷/۵۹	۲/۸۶	۰/۱۳	۴۷/۷۲	۴۷/۲۹	۰/۱۳	۷۰/۵۴	۰/۱۴	۷۰/۵۴	۴۱/۵۵	
۵/۴۶	۱۲/۳۹	۴۷/۷۲	۰/۱۳	۲/۸۶	۵/۵۹											۵/۴۶
۱۶۶۲	۹۲۰	۲۸۲۲	۱۳/۶۲	۱۴۴/۸۵	۱۷۰۴											۱۶۶۲
۳۱/۵	۸/۲۳	۱۰/۱۰	۰/۱۷	۰/۴۹	۳۲/۴											۳۱/۵
۵۶/۵	۶۵	۱۸۳/۵	۰/۹۴	۱۶/۵۱	۵۸/۵											۵۶/۵
۳۳/۵۱	۱۹/۴۷	۴۰/۴۶	۳۳/۳	۲۵/۲۲	۳۱/۷											۳۳/۵۱

Table 2 continued

ادامه جدول ۲								متغیر	
شاخص	عملکرد بیولوژیکی	عملکرد دانه	شمار کپسول در بوته	وزن هزار دانه (g)	تعداد ساقه	طول ساقه	فرعی	فرعی	برداشت
۲۰/۴۷	۲۶۵/۴	۵۰/۱/۱۲	۹۳/۳۲	۴/۲۸	۱۱/۵۱	۳۵/۸۰			۲۰/۴۷
۷/۸	۱۵۴	۲۸۷/۱۶	۵۷/۶۵	۰/۰۱	۴/۸۵	۵/۱۵			۷/۸
۸۱۹/۱۰	۱۰۶۱۶۳	۲۰/۰۴۵	۳۷۷۳	۱۷۱/۳۴	۴۶۰/۰۵	۱۴۳۲			۸۱۹/۱۰
۵/۷۴	۷۵۷/۱۵۰	۱۷۷/۰۵۰	۱۸/۳۳	۲/۹۳	۴/۸۰	۲۷/۰۲			۵/۷۴
۳۸/۱۹	۸۶۳	۱۲۸/۳	۲۳۰	۵/۱۶	۲۳/۵	۵۰/۶۸			۳۸/۱۹
۵۶/۴۲	۴۷/۵۷	۲۹/۳۲	۳۷/۰۶	۶۳	۲۶/۷۲	۳۴/۶۶			۵۶/۴۲

جدول ۳- نام و خصوصیات آغازگرهای RAPD مورد استفاده در تحقیق حاضر

آغازگر	تعداد کل مکان‌های تولید شده	تعداد مکان‌های چند شکل	درصد چند شکل	شاخص نشانگر شکلی	متحتای اطلاعاتی حاصل از چند شکل	آغازگر	تعداد کل مکان‌های تولید شده	تعداد مکان‌های چند شکل	درصد چند شکل	شاخص نشانگر	متحتای اطلاعاتی حاصل از چند شکل	آغازگر	تعداد کل مکان‌های تولید شده	تعداد مکان‌های چند شکل	درصد چند شکل	شاخص نشانگر	متحتای اطلاعاتی حاصل از چند شکل	آغازگر	
OPB-01	۱۱	۵	%۴۵	۰/۱۴	۰/۰۳	۰/۲۵	۱۱	۴	۳	۰/۷	۰/۵۲	۰/۲۵	۰/۱۸	۱۲	۷	۰/۷۵	۰/۶۰	۰/۱۸	OPB-02
OPB-02	۱۱	۴	%۳۶	۰/۰۳	۰/۰۲	۰/۰۲	۱۲	۷	۳	۰/۲۶	۰/۷۵	۰/۰۲	۰/۱۸	۱۳	۸	۰/۰۸	۰/۵۸	۰/۰۲	OPB-03
OPB-03	۵	۳	%۶۰	۰/۰۲	۰/۰۱	۰/۰۱	۱۳	۸	۲	۰/۶۸	۰/۱۶	۰/۰۱	۰/۱۸	۱۴	۹	۰/۰۹	۰/۵۸	۰/۰۱	OPB-04
OPB-04	۱۲	۷	%۵۸	۰/۰۱	۰/۰۰	۰/۰۰	۱۴	۹	۲	۰/۱۶	۰/۰۸	۰/۰۰	۰/۱۸	۱۵	۱۰	۰/۰۰	۰/۰۰	۰/۰۰	OPB-05
OPB-05	۱۳	۸	%۶۱	۰/۰۱	۰/۰۰	۰/۰۰	۱۶	۱۰	۳	۰/۱۸	۰/۰۸	۰/۰۰	۰/۱۸	۱۷	۱۲	۰/۰۰	۰/۰۰	۰/۰۰	OPD-02
OPD-02	۱۴	۴	%۲۹	۰/۰۰	۰/۰۰	۰/۰۰	۱۸	۱۲	۷	۰/۳۶	۰/۰۹	۰/۰۰	۰/۱۸	۱۹	۱۲	۰/۰۰	۰/۰۰	۰/۰۰	OPD-03
OPD-03	۱۸	۱۲	%۶۷	۰/۰۰	۰/۰۰	۰/۰۰	۲۰	۱۰	۳	۰/۳۴	۰/۰۹	۰/۰۰	۰/۱۸	۲۱	۱۵	۰/۰۰	۰/۰۰	۰/۰۰	OPD-04
OPD-04	۱۶	۱۰	%۶۲	۰/۰۰	۰/۰۰	۰/۰۰	۲۱	۱۰	۳	۰/۲۳	۰/۰۷	۰/۰۰	۰/۱۸	۲۲	۱۷	۰/۰۰	۰/۰۰	۰/۰۰	OPD-05
OPD-05	۱۸	۱۲	%۵۰	۰/۰۰	۰/۰۰	۰/۰۰	۲۲	۹	۲	۰/۱۵	۰/۰۵	۰/۰۰	۰/۱۸	۲۳	۱۸	۰/۰۰	۰/۰۰	۰/۰۰	OPD-08
OPD-08	۱۸	۱۳	%۱۶	۰/۰۰	۰/۰۰	۰/۰۰	۲۴	۱۱	۲	۰/۰۵	۰/۰۱	۰/۰۰	۰/۱۸	۲۵	۱۹	۰/۰۰	۰/۰۰	۰/۰۰	OPA-03
OPA-03	۱۲	۷	%۶۳	۰/۰۰	۰/۰۰	۰/۰۰	۲۵	۹	۳	۰/۰۷	۰/۰۲	۰/۰۰	۰/۱۸	۲۶	۲۲	۰/۰۰	۰/۰۰	۰/۰۰	OPA-04
OPA-04	۱۱	۷	%۶۳	۰/۰۰	۰/۰۰	۰/۰۰	۲۶	۹	۳	۰/۰۷	۰/۰۲	۰/۰۰	۰/۱۸	۲۷	۲۰	۰/۰۰	۰/۰۰	۰/۰۰	OPA-06
OPA-06	۱۳	۱۱	%۷۳	۰/۰۰	۰/۰۰	۰/۰۰	۲۷	۱۱	۳	۰/۰۹	۰/۰۲	۰/۰۰	۰/۱۸	۲۸	۲۰	۰/۰۰	۰/۰۰	۰/۰۰	OPA-07
OPA-07	۱۳	۷	%۵۳	۰/۰۰	۰/۰۰	۰/۰۰	۲۸	۷	۲	۰/۰۰	۰/۰۰	۰/۰۰	۰/۱۸	۲۹	۲۲	۰/۰۰	۰/۰۰	۰/۰۰	مجموع

تعدادی از نشانگرهای مؤثر در این دو صفت نیز یکسان بود. در این پژوهش وجود مکان‌های مشترک برای برخی صفات، احتمالاً به دلیل پیوستگی و یا پلیوتوبی مکان‌های کروموزومی می‌باشد که وجود همیستگی معنی‌دار بین صفات مورفوژوئیک با همدیگر می‌تواند دلیلی بر این واقعیت باشد. در این مطالعه آغازگرهای OPA-05 و OPA-06 مقدار متوسط توجیه از تغییرات صفات را توجیه کردند. احتمالاً زن‌های مربوط به این صفات، زن‌های نزدیک به هم در مکان‌های کروموزومی باشند و ممکن است در فراهم آوردن اطلاعات اولیه در خصوص انتخاب غیر مستقیم صفات از طریق آغازگرهای مرتبط مفید باشند. البته برای درک و اطمینان از وجود ارتباط پیوسته بین آغازگرهای و صفات مختلف زراعی و همچنین شناسایی محل مکان‌های کنترل کننده این صفات بر روی کروموزومها نیاز به جمعیت‌های در حال تفرق مثل F2, RIL و دبل هاپلویید می‌باشد (۲۱). با توجه به مفید بودن اطلاعات نشانگری بدست آمده از نقشه‌های پیوستگی، محدودیت‌هایی همچون در دسترس نبودن جمعیت‌های لینکاژ مناسب بین صفات زراعی و حال تفرق، عدم وجود لینکاژ مناسب بین صفات زراعی و

بهمنظور تعیین ارتباط بین صفات یادداشت شده و داده‌های مولکولی و شناسایی آغازگرهایی که بالقوه قابلیت پیوستگی با این صفات را دارند از روش رگرسیون گام به گام استفاده شد. نتایج نشان داد که مکان‌های تکیه‌ری توسعه آغازگرهای OPA-05 و OPA-06 با پیشترین صفت مرتبط هستند (جدول ۴). هر دو آغازگر ۱۳ مکان را در ارقام مورد توجه دارند. کمترین تعداد آغازگر SSR مؤثر (یک آغازگر) را برای صفات وزن هزار دانه، ارتفاع بوته و همپوشانی گلبرگ در ارقام زراعی گزارش نمودند و همچنین در گونه وحشی (36) کمترین تعداد آغازگر SSR مؤثر (یک آغازگر) را برای ارتفاع بوته، شروع گله‌های، شکل گل و رنگ گلبرگ کمترین تعداد آغازگر SSR مؤثر را دارا بودند این محققین برای صفات وزن هزار دانه در pale flax تعداد دو آغازگر گزارش نمودند. بیشترین آغازگر مثبت برای صفات تعداد کپسول ساقه‌های فرعی و عملکرد بیولوژیکی شناسایی شد،

ژنوم کتان زراعی مورد مطالعه دارند و شاید این دلیلی بر پیوستگی تعداد بیشتری از نشانگرهای RAPD با صفات زراعی در این تحقیق باشد. سوتوسردا و همکاران (۲۹) از نشانگر SSR برای شناسایی آغازگرهای مرتبط با صفات مهم زراعی در کتان استفاده کردند. آنها بیان کردند که این روش برای شناسایی مکان‌های آگاهی بخش مرتبط با صفات مورفولوژیک مفید و مطمئن بوده و آغازگرهای موثر حاصل از این مطالعات می‌تواند در برنامه‌های گزینش به کمک نشانگر و تهیه جمعیت‌های نقشه‌بایی استفاده شوند. با توجه به اینکه همه پرایمرهای RAPD مورد استفاده، مکان‌های مورد نظر را تکثیر کردند بنابراین احتمال دارد بتوان از این مکان‌های RAPD در برنامه‌های اصلاحی برای شناسایی والدین مناسب برای تهیه جمعیت‌های نقشه‌بایی و تهیه ارقام هیرید استفاده کرد

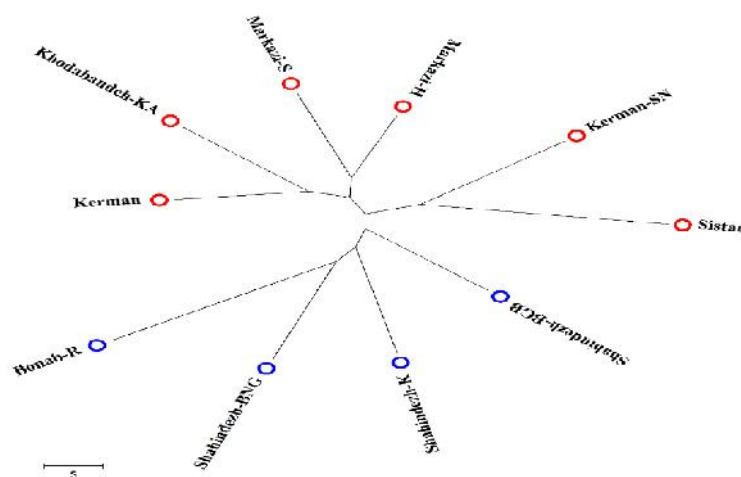
نشانگرهای مولکولی و زمان کافی کارایی این نقشه‌ها را در زمینه شناسایی نشانگرهای مرتبط با صفات زراعی پایین می‌آورد (۱۲). البته با استفاده از نشانگرهای آگاهی بخش مرتبط با صفات زراعی از جمله اجزای عملکرد مخصوصاً در مورد نشانگرهایی که مکان کروموزومی آنها مشخص می‌باشد می‌توان با تولید لاین‌های با جایگزینی کروموزومی، صفات زراعی مورد نظر را در یک لاین فاقد آن صفت از طریق تلاقي‌های فی مابین انتقال داد. که با انجام آنالیز ارتباطی می‌توان تا حدودی بر این محدودیتها فائق آمد (۲۱). آغازگر OPD-03 فقط ۴۵ درصد از تغییرات مربوط به صفت تعداد ساقه فرعی را تبیین کرد. گلشن و همکاران (۱۰) با استفاده از تجزیه خوشهای گزارش نمودند که آغازگرهای RAPD مورد استفاده در این مطالعه همیستگی کمتری با همدیگر دارند و قادرند ارقام مختلف کتان را از همدیگر تمایز سازند. بنابراین می‌توان گفت آغازگرهای مورد بررسی توزیع یکنواختی در

جدول ۴- نتایج رگرسیون گامبه‌گام بین صفات مورفولوژیک و داده‌های مولکولی برای شناسایی آغازگرهای مثبت در ارقام کتان مورد مطالعه
Table 4. Results of stepwise regression between morphological and molecular data to define informative markers in studied genotypes

صفت گیاهی	مکان ژنی	تصحیح شده R^2	سطح معنی‌داری
ارتفاع بوته	OPB-05, OPD-05, OPA-06	.۰/۰۶	
وزن کپسول در بوته	OPB-03, OPD-02, OPD-03, OPD-08	.۰/۰۶	
وزن ساقه فرعی	OPB-05, OPD-03, OPA-06	.۰/۰۴	
تعداد کپسول ساقه‌های فرعی	OPD-08, OPD-02, OPD-03, OPA-04, OPB-05, OPA-03, OPA-06	.۰/۰۳۴	
تعداد کپسول ساقه اصلی	OPA-06, OPB-03, OPB-05, OPD-05, OPA-07	.۰/۰۱۲	
طول ساقه اصلی	OPA-06, OPD-08, OPA-07,	.۰/۰۰۵	
طول ساقه فرعی	OPA-04, OPB-01, OPB-02, OPB-05	.۰/۰۱۱	
تعداد ساقه فرعی	OPD-03	.۰/۰۲	
وزن هزار دانه	OPD-03, OPD-05	.۰/۰۰۱	
شمار کپسول در بوته	OPB-03, OPD-02, OPD-08	.۰/۰۱۷	
عملکرد دانه	OPD-08, OPA-06, OPD-03, OPA-07, OPB-05	.۰/۰۱۰	
عملکرد بیولوژیکی	OPD-03, OPD-02, OPB-02, OPB-05, OPA-07, OPA-06	.۰/۰۱۲	
شخص برداشت	OPB-02, OPB-05, OPA-06	.۰/۰۱	

تجزیه به بردارهای اصلی نیز به عنوان روش مکمل تجزیه خوشهای انجام گرفت، وجود دو گروه با این مجموعه از داده‌ها از طریق PCoA نیز توجیه شد (شکل ۲). گروه اول مربوط به ارقمی که در مناطق مرکز و جنوب شرقی ایران انداره کافی در ژنوم پراکنده‌اند (۳۹). از طرفی کاهش اطلاعات به دو مولفه اصلی توانست اکثر ارقام را مطابق با تجزیه خوشهای از هم جدا کند. همانگونه که در نمودار دو بعدی حاصل از تجزیه به بردار اصلی مشاهده می‌گردد، تجمع ارقام مربوط به گروه اول در یک ناحیه مشخص از پلات کاملاً مشخص و گویاست. در مطالعه سوتوسردا و همکاران (۳۶) دو مولفه اول حدود ۶۴ درصد از واریانس کل را توجیه کردند، که در مطالعه این محققین نیز همپوشانی تقریباً کامل بین ساختار جمعیت و تجزیه به بردارهای اصلی بود.

دندروگرام حاصل از تجزیه خوشهای به روش Neighbor-Joining و ضریب فاصله Number of differences، ارقام مورد مطالعه را در دو خوشه اصلی گروه بندی کرد (شکل ۱). ارقام بناب- روشت، شاهیندز- کشاورز، شاهیندز- باروچ نادر گلی و شاهیندز- باروچ قرمزی بالا در گروه اول قرار گرفتند. گروه دوم شامل ارقام کرمان، کرمان- شهر نایک، خدابنده- کشک آباد، مرکزی- شازند، مرکزی- هندویه و سیستان و بلوچستان بود. در بررسی دندروگرام حاصل می‌توان دریافت که در هر دو گروه، ارقامی که در کنار هم جای گرفته‌اند که دارای شرایط آب و هوایی کاملاً مشابه و یا نسبتاً مشابهی می‌باشد. بیشترین فاصله ژنتیکی بین ارقام بناب- روشت و کرمان بود که در برنامه‌های بهنژادی کتان می‌توان از این ژنتوتیپ‌ها به عنوان والدین تلاقي جهت کسب حداکثر هتروزیس استفاده نمود.



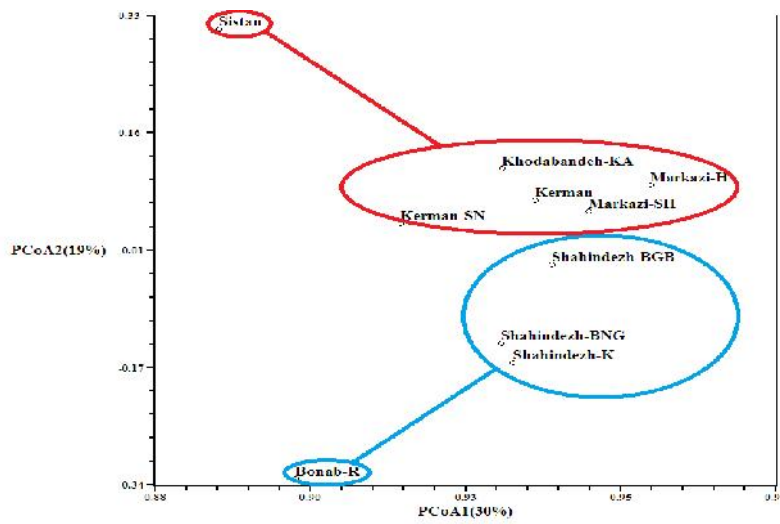
شکل ۱- گروه‌بندی ارقام کتان مورد مطالعه با استفاده از الگوریتم Neighbour-Joining و ضریب فاصله Number of differences (Kerman: کرمان، خدابنده-کشک‌آباد، Shahindezh-BNG، Shahindezh-K، شاهیندز-کشاورز، Bonab-R، Shahindezh-BG، Shahindezh-H، مرکزی-شلزند، Kerman-SN، مرکزی-هندویه، Sistan)

Figure 1. Denderogram depicting relations of flax cultivars by Number of differences distance and Neighbour-Joining algorithim (Kerman, Khodabandeh-Khashkabad, Shahindezh- Barogh Nader Gholi, Shahindezh- Keshavarz, Shahindezh- Barogh Ghermezi Bolagh, Bonab-Ravesht, Kerman-Shahr-e Babak, Markazi-Shazand, Markazi-Hendoyeh, Sistan and Baluchestan)

جدول ۵- مقدار ویژه، درصد واریانس و درصد واریانس تجمعی مربوط به ۵ مولفه اول

Table 5. Eigen value, percentage of variance and accumulative percentage of variance related to 5 first components

مولفه	مقدار ویژه	درصد مقدار ویژه	درصد تجمعی مقدار ویژه
اول	۰/۸۹	۸۵/۸۶	۸۵/۸۶
دوم	۰/۷۹	۱۹/۸۱	۸۸/۸۶
سوم	۰/۷۹	۲/۶۱	۹۱/۹۶
چهارم	۰/۷۶	۱/۹۴	۹۳/۹۶
پنجم	۰/۶۶	۱/۸۱	۹۵/۹۶

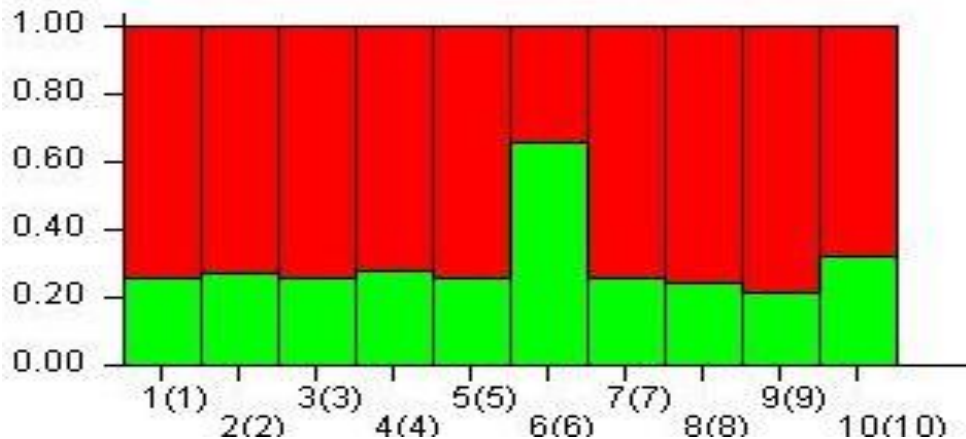


شکل ۲- پلات دو بعدی ۱۰ رقم گونه *L. usitatissimum* بر اساس تجزیه به مختصات اصلی. (Kerman: کرمان، خدابنده-کشک‌آباد، Shahindezh-BNG، Shahindezh-K، شاهیندز-کشاورز، Bonab-R، Shahindezh-BG، Shahindezh-H، مرکزی-شلزند، Kerman-SN، مرکزی-هندویه، Sistan)

Figure 2. Two dimensional plot of the genetic relationship among 10 *L.usitatissimum* cultivars produced by principle coordinate analysis on RAPD data. (Kerman, Khodabandeh-Khashkabad, Shahindezh- Barogh Nader Gholi, Shahindezh- Keshavarz, Shahindezh- Barogh Ghermezi Bolagh, Bonab-Ravesht, Kerman-Shahr-e Babak, Markazi-Shazand, Markazi-Hendoyeh, Sistan and Baluchestan)

جریان ژنی نسبتاً پایین بین ارقام می‌باشد (۵). اسمایکل و همکاران (۳۵) جهت بررسی تنوع ژنتیکی ارقام زراعی کتان با استفاده از نشانگر IRAP Fst پایین تر از $0/0^3$ را بدست آورده‌اند. با توجه به اینکه جمعیت‌های مورد مطالعه از دو نواحی آب و هوایی زاگرس (گرم و خشک) والبرز (سرد و مرطوب) با عرض و طول جغرافیایی متفاوت جمع‌آوری شده‌اند. بنابراین تفاوت جغرافیایی و تبادل ژنتیکی جمعیت‌ها می‌باشد. دلیل اصلی در تعیین ساختار ژنتیکی جمعیت‌ها می‌باشد. ساختار یک جمعیت، حاصل انتخاب و در سطوح بالاتر اختلاط در آن جمعیت می‌باشد و منجر به افزایش عدم تعادل لینکازی بین نشانگرهای غیر پیوسته می‌شود (۲۸،۴). بنابراین در نظر گرفتن ساختار جمعیت در مطالعات نقشه‌یابی ارتباطی به منظور شناسایی واریانتهای کمیاب در مکان‌هایی که بین جمعیت‌ها متغیر هستند، ولی به طور شایعی درون زیر جمعیت‌ها تثبیت شده‌اند، از اهمیت خاصی برخوردار می‌باشد (۸،۳)

ساختار ژنتیکی جمعیت نشان‌دهنده اثر متقابل ما بین گونه‌ها با توجه به تاریخ تکامل طولانی مدت، جهش و نوترکیبی، رانده‌شدگی ژنتیکی، سیستم تولید مثلی، جریان ژنی و انتخاب طبیعی می‌باشد (۳۱،۳۴). بنابراین در ک درستی از سطح و ساختار ژنتیکی محصولی پیش نیاز حفاظت و استفاده کارآمد از ژرمپلاسم در دسترس برای کارهای اصلاحی می‌باشد (۱۸). به منظور تعیین و تایید گروه‌های متمایز حاصله از تجزیه خوش‌های ارقام مورد مطالعه، تجزیه ساختار ژنتیکی ارقام مورد مطالعه با استفاده از نرم‌افزار Structure 2.3.4 (شکل ۳). پس از انجام محاسبه مقادیر مختلف K (بر اساس روش delta K)، مقدار K=۲ مناسب‌ترین عدد برای محاسبه متوسط شاخص تشییت (Fst) برای هر گروه برآورد شد و تعداد ۲ گروه حاصل از تجزیه خوش‌های تایید شد. متوسط مقدار Fst برای گروه اول و دوم به ترتیب $0/22$ و $0/06$ بود. در گروه اول مقدار متوسط Fst بیشتر از $0/21$ بود که نشان‌دهنده تمایز نسبتاً بالا و



شکل ۳ - دسته بندی ژرمپلاسم کتان بر اساس نرم افزار Structure. ۱: کرمان، ۲: خدابنده-کشک آباد، ۳: شاهیندز- باروچ نادرگلی، ۴: شاهیندز- کشاورز، ۵: شاهیندز- باروچ قرمزی بلاق، ۶: بناب- روشت، ۷: کرمان- شهر نایک، ۸: مرکزی- شلزنده، ۹: مرکزی- هندویه، ۱۰: سیستان و بلوچستان

Figure 3. Clustering of Flax germplasm using Structure software. (1:Kerman, 2:Khodabandeh-Khashkabad, 3:Shahindezh- Barogh Nader Gholi, 4:Shahindezh- Keshavarz, 5:Shahindezh- Barogh Ghermezi Bolagh, 6:Bonab-Ravesht, 7:Kerman-Shahr-e Babak, 8:Markazi-Shazand, 9:Markazi-Hendoyeh, 10:Sistan and Baluchestan)

پژوهش‌های دیگر استفاده نمود. همچنین با توجه به اینکه اکثر آغازگرهای تولیدی توسط آغازگرهای مورد استفاده در این تحقیق بر روی صفات مورد مطالعه موثر بودند بنابراین احتمال دارد بتوان از این آغازگرهای RAPD در برنامه‌های اصلاحی کتان برای شناسایی والدین مناسب برای تهیه جمعیت‌های نقشه‌یابی و تولید ارقام همیرید استفاده کرد.

مطالعه حاضر اولین گزارش در استفاده از تجزیه ارتباط برای شناسایی آغازگرهای مرتبط با صفات مورفوЛОژیک در ارقام مورد مطالعه می‌باشد. نتایج مطالعه حاضر و تحقیقات یاد شده نشان می‌دهد که چنانچه از آغازگرهای بیشتری و جمعیت‌های بزرگتری استفاده شود می‌توان به شناسایی آغازگرهایی که دارای همبستگی بالا و قابل اعتماد با صفات مرتبط با عملکرد و اجزای عملکرد امیدوار بود و از آنها در

منابع

- Abdollahi Mandoulakani1, B., H. Azizi, Y. Piri, S. Rahmankour and L. Hassani. 2016. Association Analysis for Morphological Traits in Cultivated Alfalfa using Molecular Markers. *Journal of Crop Breeding*, 8: 52-60.
- Ausubel, F.M., R. Brent, R.E. Kingston, D.D. Moore, J.G. Seidman, J.A. Smith, K. Struhl, L.M. Albright, D.M. Coen and A. Varki. 1995. Current protocols in molecular biology. Jon Wiley, 225 pp.
- Breseghello, F. and M.E. Sorrells. 2006. Association analysis as a strategy for improvement of quantitative traits in plants. *Crop Science*, 46: 1323-1330.
- Cardon, L.R. and L.J. Palmer. 2003. Population stratification and spurious allelic association. *Lancet*, 15: 598-604.
- Carvalho, A., H. Guedes-Pinto and P. Martin Lopes. 2010. Genetic variability of old Portuguese bread wheat cultivar assayed by IRAP and REMAP markers. *Annals of Applied Biology*, 156: 337-345.
- Clegg, M.T. 1997. Plant genetic diversity and the struggle to measure selection *Journal of Heredity*, 88: 1-7.
- Crossa, J., J. Burguen, S. Dreisigacker, M. Vargas, S.A. Herrera-Foessel, M. Lillemo, R.P. Singh, R. Trethowan, M. Warburton, J. Franco, M. Reynolds, J.H. Crouch and R. Ortiz. 2007. Association analysis of historical bread wheat germplasm using additive genetic covariance of relatives and population structure. *Genetics*, 177: 1889-1913.
- Flint-Garcia, S.A., A.C. Thuijlet, J. Yu, G. Pressoir, S.M. Romero, S.E. Mitchell, J. Doebley, S. Kresovich, M.M. Goodman and E.S. Buckler. 2005. Maize association population: A high-resolution platform for quantitative trait locus dissection. *Plant Journal*, 44: 1054-1064.
- Gebhardt, C., A. Ballvora, B. Walkemeier, P. Oberhagemann and K. Schuler. 2004. Assessing genetic potential in germplasm collections of crop plants by marker-trait association: A case study for potatoe with quantitative variation of resistance to late blight and maturity type. *Molecular Breeding*, 13: 93-102.
- Golshan, M., F. Rahmani and A. Hasanzadeh. 2014. Study of diversity in cultivated Flax (*Linum usitatissimum* L.) based on morphological traits and RAPD molecular marker. *Iranian Journal of Modern Genetic*, 9:107-16.
- Grant, C.A. and L.D. Baily. 1993. Interaction of Zinc with banded and broadcast phosphorus fertilizer on the dry matter and sees yield of oilseed flax. *Canadian Journal of Plant Science*, 73:7-15.
- Gupta, P.K., S. Rustgi and P.L. Kulwal. 2005. Linkage disequilibrium and association studies in higher plants: Present status and future prospects. *Plant Molecular Biology*, 57: 461-485.
- Ivanova, S., T. Rashevskaya and M. Makhonina. 2011. Flaxseed additive application in dairy products production. *Procedia Food Science*, 1: 275-280
- Jun, T.H., K. Van, M.Y. Kim, S.H. Lee and D.R. Walker. 2008. Association analysis using SSR markers to find QTL for seed protein content in soybean. *Euphytica*, 162: 179-191.
- Kumar, J. and P. Kumar Gupta. 2008. Molecular approaches for improvement of medicinal and aromatic plants. *Plant Biotechnology Reports*, 2: 93-112.
- Kumar, S., K. Tamura and M. Nei. 2004. MEGA3. Integrated software for molecular evolutionary genetic analysis and sequence alignment *Briefing in Bioinformatics*, 5: 150-163.
- Levesque, R. 2007. SPSS Programming and Data Management: A Guide for SPSS and SAS Users, Fourth Edition, SPSS Inc., Chicago.
- Li, M., Z. Zhao, X. Miao and J. Zhou. 2014. Genetic diversity and population Structure of Siberia apricot (*Prunus Siberia* L.) in China. *International Journal of Molecular Sciences*, 15: 377-400.
- Muravenko, O.V., V.A. Lemesh, T.E. Samatadze, A.V. Amosova, Z.E. Grushetskaya, K.V. Popov, O.Y. Semenova, L.V. Khotyuleva and A.V. Zelenin. 2003. Genome comparisons with chromosomal and molecular markers for three closely related flax species and their hybrids. *Russian Journal of Genetics*, 39: 414-421.
- Murre, M.M. 1955. Vezelvas. Uitgeverij Ceres. Meppel. The Netherlands: 112 pp.
- Naghavi, M.R., M. Mardi, S.M. Pirseyedi, M. Kazemi, P. Potki and M.R. Ghaffari. 2007. Comparison of genetic variation among accessions of *Aegilops tauschii* using AFLP and SSR markers. *Genetic Resources and Crop Evolution*, 54: 237-240.
- Omid-Beigi, R. 1995. Findings about Production and Process of Medicinal Plants. Fekre Rooz Publication, 110 pp.
- Pank, F. 2006. Adaptation of medicinal and aromatic plants to contemporary quality and technological demands by breeding: aims, methods and trends. *Revista Brasileira de Plantas Medicinais*, Botucatu, 8: 39-42.
- Pritchard, J.K., M. Stephens and P. Donnelly. 2000. Inference of population structure using multilocus genotype data. *Genetics*, 155: 945-959.
- Rashidi Monfared, S., M. Mardi, A.H. Hoseinzadeh and M.R. Naghavi. 2008. Association analysis of important agronomic traits to retrotransposon markers SSAPs in durum wheat accessions. *Journal of Modern Genetic*, 3: 29-35.
- Rechinger, K.H. 1974. Flora Iranica: Linaceae. Graz: Akademische Druk-und Verlagsanstalt, 106 pp.

27. Rohlf, F.J. 2000. NTSYS-pc: numerical taxonomy and multivariate analysis system, version 2.1. Exeter Software, New York.
28. Rostok, N., L. Ramsay, K. MacKenzie, L. Cardle, P.R. Bhat, M.L. Roose, J.T. Svensson, N. Stein, R.K. Varshney, D.F. Marshall, A. Graner, T.J. Close and R. Waugh. 2006. Recent history of artificial outcrossing facilitates whole-genome association mapping in elite inbred crop varieties. Proceeding of the National Academy of Sciences, 103: 18656-18661.
29. Roy, J.K., R. Bandopadhyay, S. Rustgi, H.S. Balyan and P.K. Gupta. 2006. Association analysis of agronomically important traits using SSR, SAMPL and AFLP markers in bread wheat. Current Science, 90: 5-10.
30. Saremi Rad, B., M. Shokrpour, O. Sofalian, S.E. Hashemi Nezhad, A. Avanes and E. Esfandiari. 2014. Association Analysis of AFLP and RAPD Markers with Cadmium Accumulation in Wheat. Journal of Crop Breeding, 8: 126-133 (In Persian).
31. Schaal, B.A., D.A. Hayworth, K.M. Olsen, J.T. Rauscher and W.A. Smith. 1998. Phylogeographic studies in plants: Problems and prospects. Molecular Ecology, 7: 465-474.
32. Semagn, K., A. Bjornstad and M.N. Ndjiondjop. 2006. An overview of molecular market methods for plants. African Journal of Biotechnology, 5: 2540-2568.
33. Sharifinia, F. and M. Assadi. 2001. Flora of Iran, No. 34: *Linaceae*. Research Inst, Forests and Rangelands. Ministry of Jahad-e-Sazandegi, 114-125.
34. Slatkin, M. 1987. Gene flow and the geographic structure of natural populations Science, 236: 787-792.
35. Smykal, P., N. Bacova-Kerteszova, R. Kalendar, J. Corander, A.H. Schlman and M. Pavelek. 2011. Geneticdiversity of cultivated flax (*Linum usitatissimum* L.) germplasm assessed by retrotransposon-based markers. Theoretical and Applied Genetics, 122: 1385-1397.
36. Soto-Cerda, B.J., A. Diederichsen, S. Duguid, H. Booker, G. Rowland and S. Cloutier. 2014. The potential of pale flax as a source of useful genetic variation for cultivated flax revealed through molecular diversity and association analysis. Molecular Breeding, 34: 2091-2107.
37. Soto-Cerda, B.J., S. Duguid, H. Booker, G. Rowland, A. Diederichsen and S. Cloutier. 2014. Association mapping of seed quality traits using the Canadian flax (*Linum usitassimum* L.) core collection. Theoretical and Applied Genetics, 127: 881-896.
38. Talebibodaf, M., A. Tabatabaei, K.H. Razmjoo and B. Shirvan. 2006. Genetic variation within and among species of perennial grass using AFLP markers. Iranian Journal of Science and Technology of Agriculture and Natural Resources, 10: 29-38.
39. Virk, P.S., B.V. Ford-Lloyd, M.T. Jackson, H.S. Pooni, T.P. Clemeno and H.J. Newbury. 1996. Marker-assisted prediction of agronomic traits using diverse rice germplasm. In: Khush GS, editor. Rice genetics III Proceeding of the Third International Rice Genetics Symposium, Manilla (Philippines): International Rice Research Institute, pp: 307-316.

Identification of RAPD Marker Associated with Morphological Traits and Population Structure Assessed in Cultivated Flax (*Linum Usitassimum L.*)

Masoomeh Golshan¹, Fatemeh Rahmani² and Hossein Abbasi Holasou³

1- Graduate M.Sc., Department Faculty of Science, Urmia University

2- Assistant, Department Faculty of Science, Urmia University

3- Genetic PhD, Faculty of Agricultural Sciences, Tabriz University (Corresponding Author:
Hossein.pdf55@gmail.com)

Received: August 11, 2015

Accepted: February 6, 2016

Abstract

Linum is the largest genus of the *Linaceae* family comprising nearly 2030 species. Flax (*Linum usitassimum L.*) is the third largest natural fiber crop in the world. In the present study, RAPD marker were employed to identify informative markers associated with traits such as plant height, weight of capsules per plant, weight branch, capsules number of branches, capsules of the main stem, stem length, branch length, number of branches, thousand seed weight, number of capsules per plant, seed yield, biological yield and harvest index in flax cultivars. Thirteen RAPD primers amplified 169 loci among 10 flax cultivars, with an average of 13 loci per primer. Polymorphic information content (PIC) ranged from 0.05 (OPA-03) to 0.29 (OPD-03), with an average of 0.16. Cluster analysis based on molecular data assigned the genotypes into two groups, which coincided to geographic distribution. Cluster analysis result was confirmed by principal components analysis. Population structure analysis using model-based Bayesian confirmed the K=2, as the reliable value for the number of clusters. Stepwise regression analysis between molecular data as independent variables, and morphological data as dependent variables was performed to identify informative markers associated with the studied traits. Loci OPD-03 and OPD-05 were associated with both thousand seed weight and number of branches. Since all used RAPD loci except OPB-04 showed significant association with the studied traits, therefore, it is possible to use these primers along with morphological traits in flax breeding programs for identification of suitable parents to produce mapping populations and hybrid varieties.

Key words: Association analysis, Morphological traits, Principal component analysis, RAPD marker